

КОНФЕРЕНЦИЯ ПО ИСПОЛЬЗОВАНИЮ РАССЕЯНИЯ НЕЙТРОНОВ В ИССЛЕДОВАНИИ КОНДЕНСИРОВАННЫХ СРЕД (РНИКС-2025)

• → • → • Томск, 29 сентября – 3 октября 2025 г.

ИНТЕНСИВНОСТЬ МИКРОПУЧКА НЕЙТРОНОВ ИЗ ПЛОСКОГО ВОЛНОВОДА

С. В. Кожевников*, А. В. Петренко

ЛНФ им. И. М. Франка, ОИЯИ, Дубна, Россия *E-mail: kozhevn@nf.jinr.ru

Ширина нейтронного пучка в обычном эксперименте составляет от 0.1 до 10 мм. Для исследования локально-неоднородных микроструктур необходимо иметь очень узкие пучки нейтронов шириной менее 100 мкм. С этой целью разрабатываются различные фокусирующие устройства (капиллярные линзы, преломляющие линзы, изогнутые кристаллы-монохроматоры и др.) [1]. Но все они имеют ограничения, которые связаны с физическими свойствами используемых материалов или технологией их обработки. С помощью таких фокусирующих устройств трудно выделить «чистый» микропучок и получить микропучок шириной менее 30 мкм.

Эти ограничения можно обойти с помощью слоистых волноводов [2]. На рис. 1a показан принцип действия нейтронного волновода, а на рис. 16 представлена плотность длины рассеяния (ПДР) нейтронов данной структуры. Коллимированный пучок нейтронов с угловой расходимостью $\delta lpha_i \sim 0.01^\circ$ падает на поверхность волновода под малым углом скольжения около $\alpha_i \sim 0.4^\circ$. Затем нейтроны туннельным образом проходят через тонкий слой 1 и почти полностью отражаются от толстого слоя 3. В результате многократного отражения нейтронной волны внутри среднего слоя 2 происходит резонансное усиление нейтронной плотности. Нейтроны распространяются в среднем волноводном слое как в канале и выходят из торца волновода в виде узкого микропучка с расходимостью около $\delta \alpha_f \sim 0.1^\circ$. На расстоянии 1 мм от выхода волновода ширина микропучка составляет порядка 1 мкм. В [3,4] поляризованный микропучок нейтронов из плоского волновода интенсивностью около 1 н/с был использован для пространственного сканирования магнитной проволочки диаметром 190 мкм. В [5-7] было экспериментально показано, что при высокой коллимации падающего пучка основной вклад в угловую расходимость микропучка даёт дифракция Фраунгофера $\deltalpha_F\propto \lambda/d$, где λ – длина волны нейтронов и d – ширина волноводного канала.

Ранее было экспериментально получено [8], что с ростом угловой расходимости падающего пучка $\delta \alpha_i$ линейно растёт спектральная ширина резонанса порядка n=0. Недавно нами было показано [9], что для резонанса n=0 с ростом угловой расходимости падающего пучка $\delta \alpha_i$ линейно растёт расходимость микропучка $\delta \alpha_i$. Полученные экспериментальные результаты качественно подтверждают предварительные расчёты в диссертации [10].

В настоящей работе мы исследовали зависимость интенсивности микропучка нейтронов от угловой расходимости δα; падающего пучка. Размеры подложки волновода $Ni_{67}Cu_{33}(20$ нм)/ $Cu(150)/Ni_{67}Cu_{33}(50)$ //Si(подложка) были равны $1 \times 1 \times 25$ мм³. Сплав Ni(67 ат. %)Cu(33 ат. %) является немагнитным при комнатной температуре и обладает высоким значением ПДР. Измерения проведены на времяпролётном нейтронном рефлектометре РЕМУР на импульсном реакторе ИБР-2 в Дубне. Угол скольжения падающего пучка $\alpha_i = 0.211^\circ$ был фиксирован. Угловая расходимость падающего пучка регулировалась с помощью диафрагмы перед образцом на расстоянии 3236 мм. На рис. 2α представлена спектральная интенсивность микропучка нейтронов резонансов порядков n=0,1,2 при различной угловой расходимости (FWHM) падающего пучка нейтронов. Интенсивность микропучка просуммирована по широкому интервалу конечных углов рассеяния $\Delta \alpha_f = 0.224^\circ$. Пунктирной линий показан уровень фона. Видно, что для малой угловой расходимости падающего пучка интенсивность микропучка мала, и резонансы порядков n = 0, 1, 2 чётко видны. С ростом угловой расходимости падающего пучка интенсивность микропучка увеличивается, а пучки резонансов n=0,1,2перекрываются. На рис. 26 приведена интегральная по длине волны нейтронов интенсивность микропучка резонансов n=0,1,2 в зависимости от угловой расходимости падающего пучка. Можно видеть, что интенсивность микропучка увеличивается линейно



КОНФЕРЕНЦИЯ ПО ИСПОЛЬЗОВАНИЮ РАССЕЯНИЯ НЕЙТРОНОВ В ИССЛЕДОВАНИИ КОНДЕНСИРОВАННЫХ СРЕД (РНИКС-2025)

• → • → • → Томск, 29 сентября – 3 октября 2025 г.

с ростом угловой расходимости падающего пучка. Это объясняется ростом спектральной ширины нейтронных резонансов внутри волновода.

Мы полагаем, что полученные результаты будут полезными как для более полного понимания нейтронооптических явлений в резонансных слоистых наноструктурах, так и для оптимизации работы плоских нейтронных волноводов.

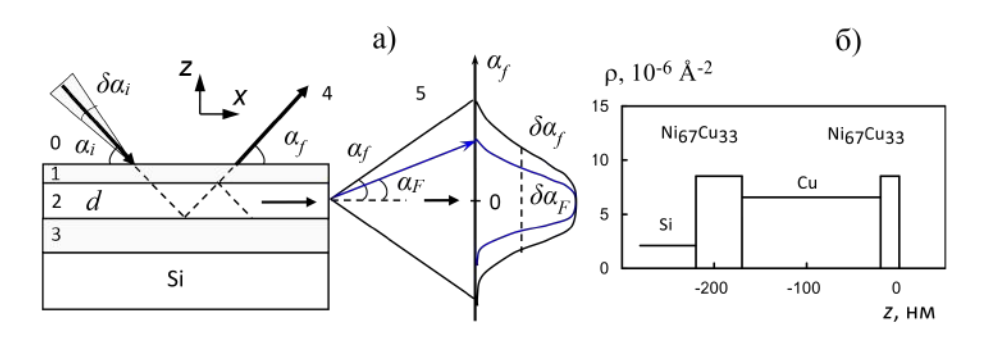


Рис. 1. (α) – Геометрия эксперимента: 0 – вакуум, 1 – верхний тонкий слой, 2 – волноводный слой; 3 – нижний толстый слой, 4 – зеркально отражённый пучок и 5 – микропучок. (δ) ПДР волноводной структуры.

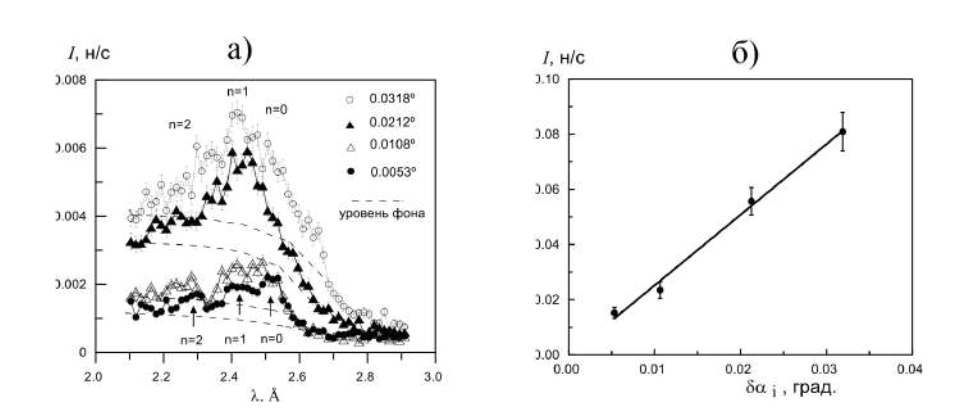


Рис. 2. (α) Спектр микропучка при различной угловой расходимости падающего пучка. (δ) – Интегральная по длине волны нейтронов интенсивность микропучка в зависимости от угловой расходимости падающего пучка.

- 1. F. Ott, Focusing Optics for Neutrons. In: Modern Developments in X-Ray and Neutron Optics. Springer Series in Optical Sciences, **137**, 113–134 (2008).
- 2. F. Pfeiffer, V. Leiner, P. Høghøj, I. Anderson, Phys. Rev. Lett. 88, 055507 (2002).
- 3. F. Ott, S. Kozhevnikov, A. Thiaville et al., NIM A 788, 29 (2015).
- 4. С. В. Кожевников, F. Ott, J. Torrejón и др., Физика твёрдого тела 56, 63(2014).
- 5. S. V. Kozhevnikov, V. K. Ignatovich, Yu. V. Nikitenko et al., Pis'ma ZhETF 102, 3 (2015).
- 6. С. В. Кожевников, В. Д. Жакетов, Ф. Раду, ЖЭТФ **154**, 698 (2018).
- 7. S. V. Kozhevnikov, V. D. Zhaketov, T. Keller et al., NIM A 915, 54 (2019).
- 8. С. В. Кожевников, В. К. Игнатович, А. В. Петренко, Ф. Раду, ЖЭТФ **150**, 1094 (2016).
- 9. С. В. Кожевников, А. В. Петренко, ЖЭТФ 167, 491 (2025).
- 10. F. Pfeiffer, X-ray and neutron waveguides, PhD thesis, Universität des Saarlandes, Saarbrüken, 2002.